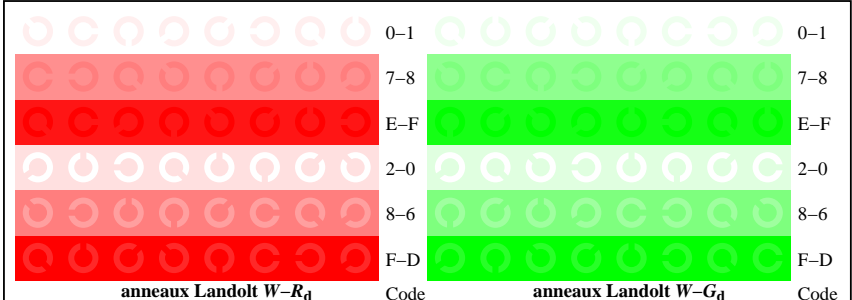


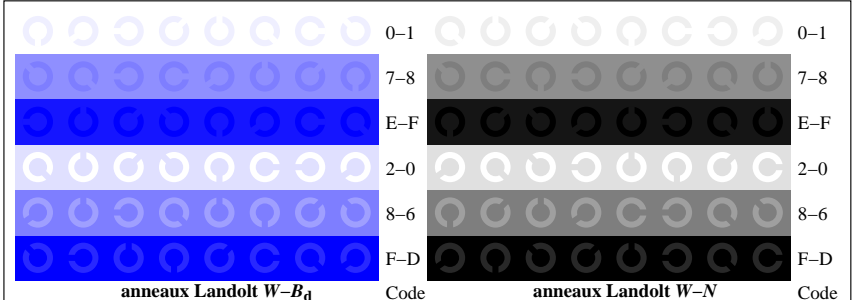
TF821-1, Fig. D4Wd: 16 équidistants étapes  $W-R_d; W-G_d; W-B_d; W-N$ ;  $rgb/cmny0 \rightarrow rgb_d$  setrgbcolor

+-.: Q	O	C	O	C	O	C	O	C	O	C	O	C	O	C	O	C	O	uvw	O	C	O	O
xyz;	O	O	O	O	O	O	O	O	O	O	O	O	O	O	O	O	O	pqr	O	C	O	O
tuvw	O	O	O	O	O	O	O	O	O	O	O	O	O	O	O	O	O	lmno	O	C	O	O
pqrs	O	O	O	O	O	O	O	O	O	O	O	O	O	O	O	O	O	defg	O	C	O	O
lmno	O	O	O	O	O	O	O	O	O	O	O	O	O	O	O	O	O	!abc	O	C	O	O
hijk	C	C	C	C	C	C	C	C	C	C	C	C	C	C	C	C	C	+-.:	O	C	O	O
defg	O	O	O	O	O	O	O	O	O	O	O	O	O	O	O	O	O	xyz;	O	C	O	O
!abc	O	O	O	O	O	O	O	O	O	O	O	O	O	O	O	O	O	tuvw	O	C	O	O
																		defg	O	C	O	O
																		!abc	O	C	O	O
																		6	N	R_d	G_d	B_dZ
																		8	N	R_d	G_d	B_dZ
																		10	N	R_d	G_d	B_dZ

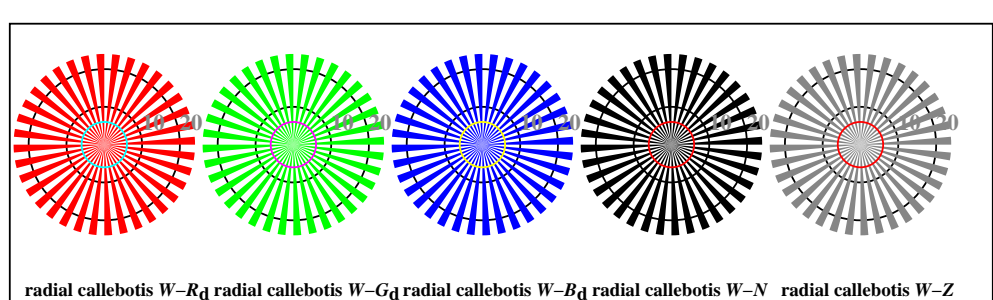
TF821-3, Fig. D5Wd: code et Landolt anneau  $N$ ;  $R_d; G_d; B_d; Z$ ; PS operator  $rgb \rightarrow rgb_d$  setrgbcolor



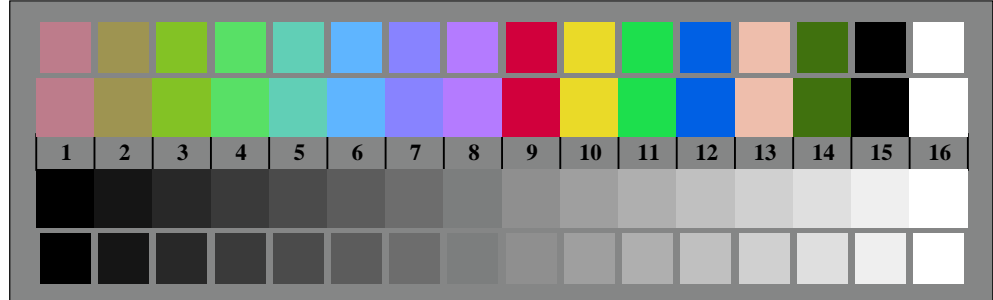
TF821-5, Fig. D6Wd: anneaux Landolt  $W-R_d; W-G_d$ ; PS operator  $rgb \rightarrow rgb_d$  setrgbcolor



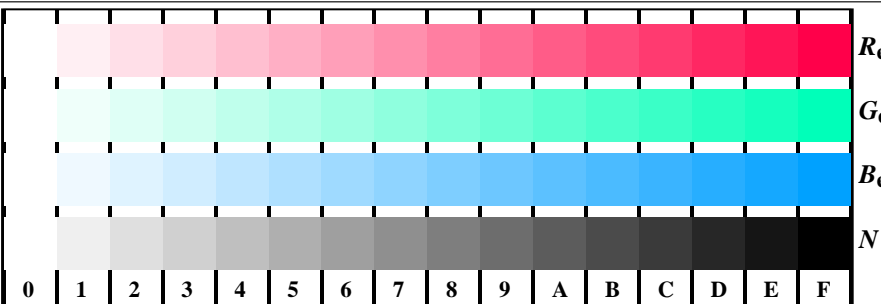
TF821-7, Fig. D7Wd: anneaux Landolt  $W-B_d; W-N$ ; PS operator  $rgb \rightarrow rgb_d$  setrgbcolor



radial callebotis  $W-R_d$  radial callebotis  $W-G_d$  radial callebotis  $W-B_d$  radial callebotis  $W-N$  radial callebotis  $W-Z$



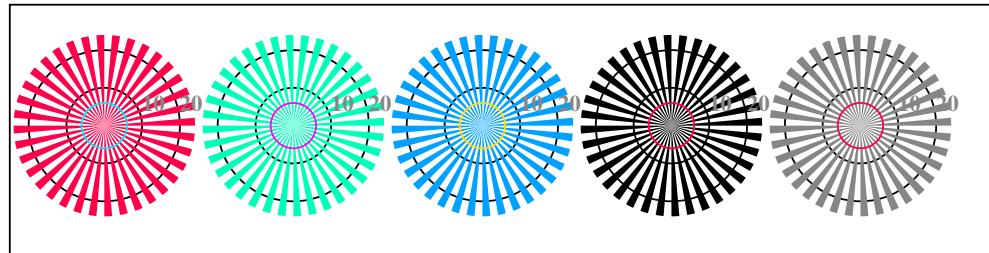
TF820-7, Fig. D3Wd: 14 CIE test couleurs et 2 + 16 gris étapes (sf);  $rgb/cmny0 \rightarrow rgb_d$  setrgbcolor



TF821-1, Fig. D4We: 16 équidistants étapes  $W-R_e; W-G_e; W-B_e; W-N$ ;  $rgb/cm\gamma 0 \rightarrow rgb_e$  setrgbcolor

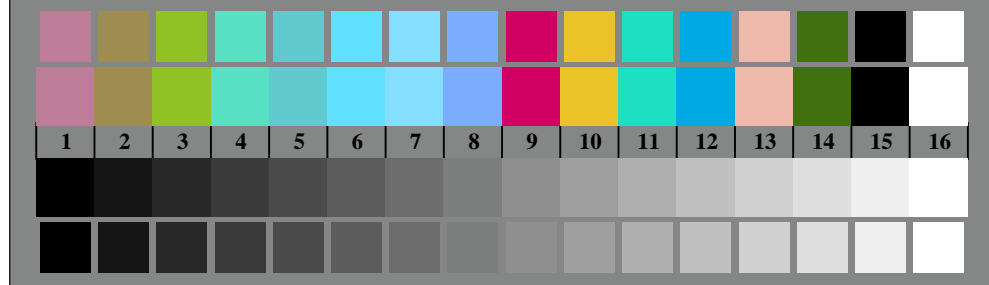
+-.: Q	O	O	O	C	lmno	C	O	C	O	O	pqrs	O	O	O	O	uvwxyz;	O	O	O	O	hijk	O	C	O	O	defg	O	O	O	O	!abc	O	O	O	O	+-.:	O	O	O	O	xyz;	O	O	O	O	tuvw	O	O	O	O	defg	O	O	O	O	!abc	O	O	O	O	6	N	R <sub>e</sub>	G <sub>e</sub>	B <sub>e</sub>	Z
uvwxyz;	O	O	O	O	hijk	O	C	O	O	O	lmno	O	O	O	O	defg	O	O	O	O	!abc	O	O	O	O	+-.:	O	O	O	O	xyz;	O	O	O	O	tuvw	O	O	O	O	defg	O	O	O	O	!abc	O	O	O	O	4	N	R <sub>e</sub>	G <sub>e</sub>	B <sub>e</sub>	Z										
defg	O	O	O	O	!abc	O	O	O	O	O	uvwxyz;	O	O	O	O	lmno	O	O	O	O	hijk	O	C	O	O	defg	O	O	O	O	!abc	O	O	O	O	6	N	R <sub>e</sub>	G <sub>e</sub>	B <sub>e</sub>	Z																									
!abc	O	O	O	O	10	N	R <sub>e</sub>	G <sub>e</sub>	B <sub>e</sub>	Z	uvwxyz;	O	O	O	O	defg	O	O	O	O	!abc	O	O	O	O	+-.:	O	O	O	O	xyz;	O	O	O	O	tuvw	O	O	O	O	defg	O	O	O	O	!abc	O	O	O	O	4	N	R <sub>e</sub>	G <sub>e</sub>	B <sub>e</sub>	Z										
10	N	R <sub>e</sub>	G <sub>e</sub>	B <sub>e</sub>	Z	uvwxyz;	O	O	O	O	defg	O	O	O	O	!abc	O	O	O	O	+-.:	O	O	O	O	xyz;	O	O	O	O	tuvw	O	O	O	O	defg	O	O	O	O	!abc	O	O	O	O	4	N	R <sub>e</sub>	G <sub>e</sub>	B <sub>e</sub>	Z															

TF821-3, Fig. D5We: code et Landolt anneau  $N$ ;  $R_e$ ;  $G_e$ ;  $B_e$ ;  $Z$ ; PS operator  $rgb \rightarrow rgb_e$  setrgbcolor



radial callebotis  $W-R_e$  radial callebotis  $W-G_e$  radial callebotis  $W-B_e$  radial callebotis  $W-N$  radial callebotis  $W-Z$

TF820-5, Fig. D2We: radial callebotis  $W-R_e$ ;  $W-G_e$ ;  $W-B_e$ ;  $W-N$ ; PS operator  $rgb \rightarrow rgb_e$  setrgbcolor



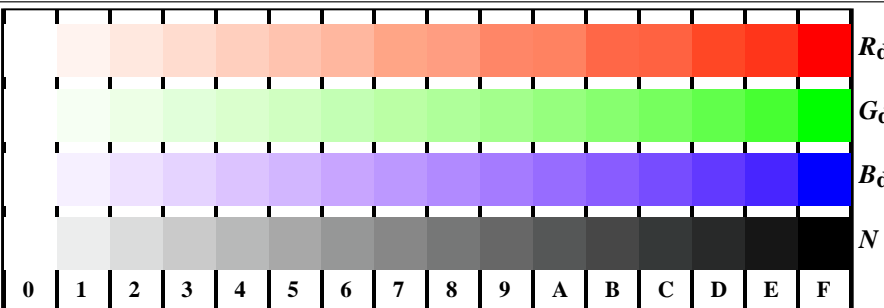
TF820-7, Fig. D3We: 14 CIE test couleurs et 2 + 16 gris étapes (sf);  $rgb/cm\gamma 0 \rightarrow rgb_e$  setrgbcolor

anneaux Landolt $W-R_e$	Code	anneaux Landolt $W-G_e$	Code
0-1		0-1	
7-8		7-8	
E-F		E-F	
2-0		2-0	
8-6		8-6	
F-D		F-D	

TF821-5, Fig. D6We: anneaux Landolt  $W-R_e$ ;  $W-G_e$ ; PS operator  $rgb \rightarrow rgb_e$  setrgbcolor

anneaux Landolt $W-B_e$	Code	anneaux Landolt $W-N$	Code
0-1		0-1	
7-8		7-8	
E-F		E-F	
2-0		2-0	
8-6		8-6	
F-D		F-D	

TF821-7, Fig. D7We: anneaux Landolt  $W-B_e$ ;  $W-N$ ; PS operator  $rgb \rightarrow rgb_e$  setrgbcolor



TF821-1, Fig. D4Wdd: 16 équidistants étapes  $W-R_d; W-G_d; W-B_d; W-N$ ;  $rgb/cmy0 \rightarrow rgb_{dd}$  setrgbcolor

+-.:	Q	O	O	O	C	lmno	C	O	C	O	O	pqrs	O	O	O	O	uvw	O	O	O
xyz;	O	O	O	O	O	hijk	O	C	O	O	O	lmno	O	O	O	O	pqrs	O	O	O
tuvw	O	O	O	O	O	defg	O	O	O	O	O	hijk	O	O	O	O	hijk	O	O	O
pqrs	O	O	O	O	O	!abc	O	O	O	O	O	+-.:	O	O	O	O	+-.:	O	O	O
lmno	O	O	O	O	O	xyz;	O	O	O	O	O	xyz;	O	O	O	O	xyz;	O	O	O
hijk	C	C	C	C	O	tuvw	O	O	O	O	O	tuvw	O	O	O	O	tuvw	O	O	O
defg	O	O	O	O	O	pqrs	O	O	O	O	O	defg	O	O	O	O	defg	O	O	O
!abc	O	O	O	O	O	lmno	O	O	O	O	O	!abc	O	O	O	O	!abc	O	O	O
10	N	R <sub>d</sub>	G <sub>d</sub>	B <sub>d</sub>	Z							6	N	R <sub>d</sub>	G <sub>d</sub>	B <sub>d</sub>	Z			
												8	N	R <sub>d</sub>	G <sub>d</sub>	B <sub>d</sub>	Z			

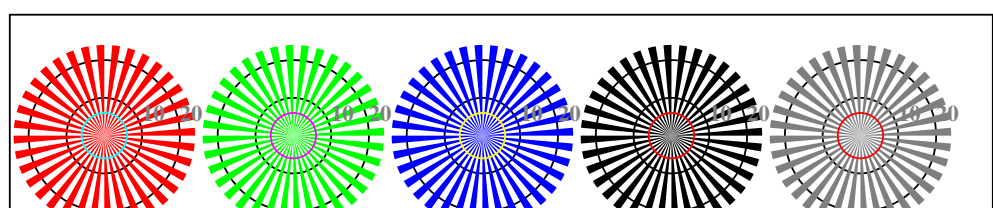
TF821-3, Fig. D5Wdd: code et Landolt anneau  $N; R_d; G_d; B_d; Z$ ; PS operator  $rgb \rightarrow rgb_{dd}$  setrgbcolor

anneaux Landolt $W-R_d$	Code	anneaux Landolt $W-G_d$	Code
0-1		0-1	
7-8		7-8	
E-F		E-F	
2-0		2-0	
8-6		8-6	
F-D		F-D	

TF821-5, Fig. D6Wdd: anneaux Landolt  $W-R_d; W-G_d$ ; PS operator  $rgb \rightarrow rgb_{dd}$  setrgbcolor

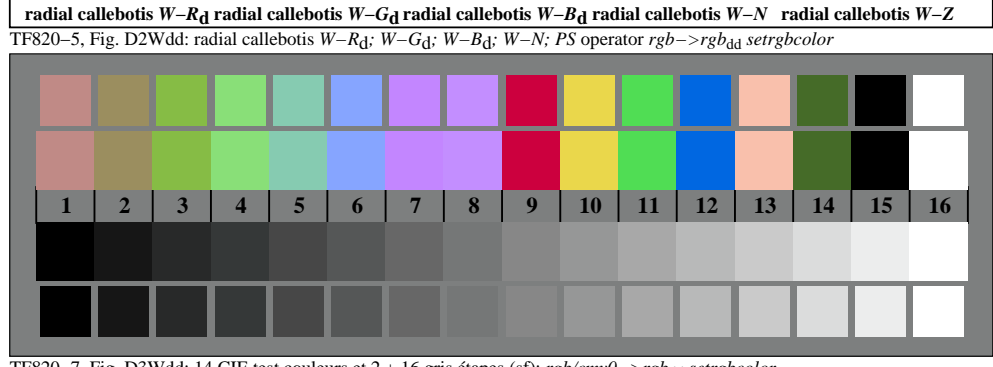
anneaux Landolt $W-B_d$	Code	anneaux Landolt $W-N$	Code
0-1		0-1	
7-8		7-8	
E-F		E-F	
2-0		2-0	
8-6		8-6	
F-D		F-D	

TF821-7, Fig. D7Wdd: anneaux Landolt  $W-B_d; W-N$ ; PS operator  $rgb \rightarrow rgb_{dd}$  setrgbcolor

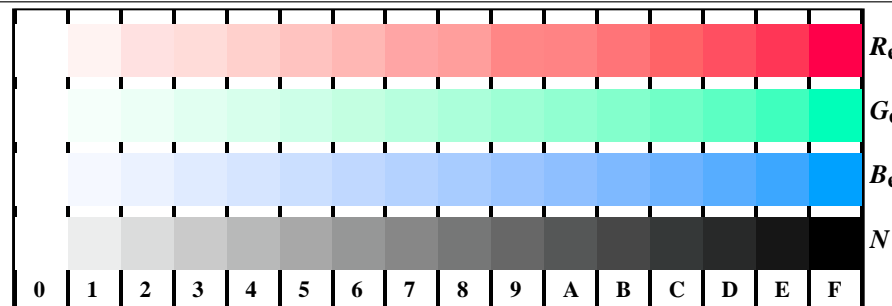


radial callebotis  $W-R_d$  radial callebotis  $W-G_d$  radial callebotis  $W-B_d$  radial callebotis  $W-N$  radial callebotis  $W-Z$

TF820-5, Fig. D2Wdd: radial callebotis  $W-R_d; W-G_d; W-B_d; W-N$ ; PS operator  $rgb \rightarrow rgb_{dd}$  setrgbcolor



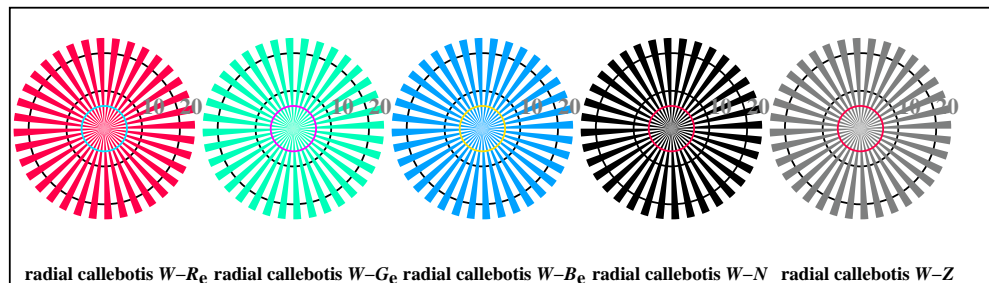
TF820-7, Fig. D3Wdd: 14 CIE test couleurs et 2 + 16 gris étapes (sf);  $rgb/cmy0 \rightarrow rgb_{dd}$  setrgbcolor



TF821-1, Fig. D4Wde: 16 équidistants étapes  $W-R_e; W-G_e; W-B_e; W-N$ ;  $rgb/cmy0 \rightarrow rgb_{de}$  setrgbcolor

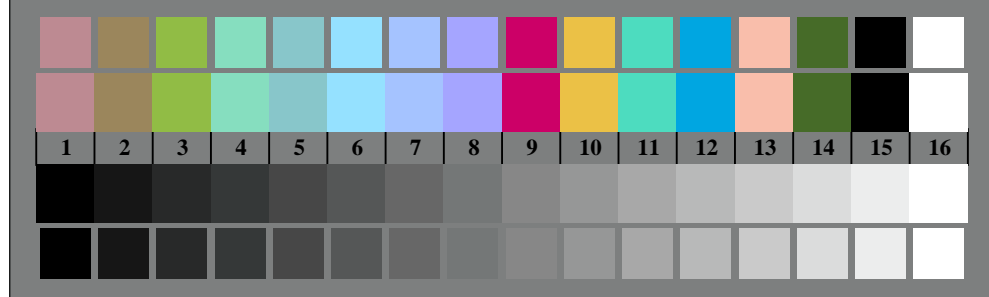
+-.: Q	O O O C	lmno C O C O C	pqrs O O O O O	uvwxyz O O O O O
xyz; O	O O O C	hijk O C O C O	lmno O O O O O	pqrs O O O O O
tuvw O	O O O C	defg O O O C O	hijk O O O O O	hijk O O O O O
pqrs O	O O O C	!abc O O O O O	+-.: O O O O O	+-.: O O O O O
lmno O	O O O C	+-.: O O O O O	uvwxyz O O O O O	uvwxyz O O O O O
hijk C	C C C C	xyz; O O O O O	tuvw O O O O O	tuvw O O O O O
defg O	O O O C	defg O O O O O	defg O O O O O	defg O O O O O
!abc O	O O O C	!abc O O O O O	6 N R_e G_e B_e Z	4 N R_e G_e B_e Z
10 N R_e G_e B_e Z				

TF821-3, Fig. D5Wde: code et Landolt anneau  $N; R_e; G_e; B_e; Z$ ; PS operator  $rgb \rightarrow rgb_{de}$  setrgbcolor



radial callebotis  $W-R_e$  radial callebotis  $W-G_e$  radial callebotis  $W-B_e$  radial callebotis  $W-N$  radial callebotis  $W-Z$

TF820-5, Fig. D2Wde: radial callebotis  $W-R_e; W-G_e; W-B_e; W-N$ ; PS operator  $rgb \rightarrow rgb_{de}$  setrgbcolor



TF820-7, Fig. D3Wde: 14 CIE test couleurs et 2 + 16 gris étapes (sf);  $rgb/cmy0 \rightarrow rgb_{de}$  setrgbcolor

anneaux Landolt $W-R_e$		Code		anneaux Landolt $W-G_e$		Code	
0-1				0-1			
7-8				7-8			
E-F				E-F			
2-0				2-0			
8-6				8-6			
F-D				F-D			

TF821-5, Fig. D6Wde: anneaux Landolt  $W-R_e; W-G_e$ ; PS operator  $rgb \rightarrow rgb_{de}$  setrgbcolor

anneaux Landolt $W-B_e$		Code		anneaux Landolt $W-N$		Code	
0-1				0-1			
7-8				7-8			
E-F				E-F			
2-0				2-0			
8-6				8-6			
F-D				F-D			

TF821-7, Fig. D7Wde: anneaux Landolt  $W-B_e; W-N$ ; PS operator  $rgb \rightarrow rgb_{de}$  setrgbcolor